



УДК 577.213.3:577.113.5.

ВЫСОКОЧУВСТВИТЕЛЬНЫЙ И БЫСТРЫЙ МЕТОД ВЫЯВЛЕНИЯ ДНК-ФРАГМЕНТОВ С ИСПОЛЬЗОВАНИЕМ ФОТОПРОТЕИНА ОБЕЛИНА КАК РЕПОРТЕРА

© 2008 г. В. В. Борисова*, И. А. Пышная**, Д. В. Пышный**, Л. А. Франк**

*Институт биофизики СО РАН, 660036, Красноярск, Академгородок, стр. 50;

**Институт химической биологии и фундаментальной медицины СО РАН, Новосибирск

Поступила в редакцию 11.01.2008 г. Принята к печати 05.02.2008 г.

Рекомбинантный Ca^{2+} -активируемый фотопротеин обелин использовали в качестве репортерного белка при проведении биолюминесцентного твердофазного анализа ДНК методом молекулярной гибридизации. Олигонуклеотидные зонды иммобилизовали на поверхности мелкодисперсного полимера или микробиологических планшет различных видов. В качестве выявляемой ДНК-матрицы использовали 30-звенный олигонуклеотид или его производное с остатком биотина на 3'-конце, а также денатурированный двухцепочечный ПЦР-фрагмент вируса гепатита С (ВГС), в состав которого входила последовательность 30-звенного олигонуклеотида. Мечение зонда в составе гибридизационного комплекса проводили ферментативным удлинением цепи с помощью *Taq*-ДНК-полимеразы в присутствии биотинилированного дезоксиуридитрифосфата. Результаты биолюминесцентного анализа сравнивали с результатами колориметрического анализа, полученными при использовании в качестве репортера щелочной фосфатазы. Показано, что использование биолюминесцентной обелиновой метки позволяет существенно ускорить процедуру выявления ДНК, обеспечивая при этом высокую чувствительность анализа (не ниже 10^{-15} моль ДНК-матрицы), и дает возможность количественной оценки содержания ДНК-матрицы в анализируемом образце.

Ключевые слова: обелин; биолюминесцентный гибридизационный анализ; ПЦР.

ВВЕДЕНИЕ

Чувствительность детекции продуктов полимеразной цепной реакции является критически важным фактором при диагностике различных заболеваний. Существующие на сегодняшнем рынке диагностические системы основаны либо на качественном обнаружении ДНК-мишени методом гель-электрофореза, либо на колориметрическом определении с помощью репортерных ферментов (щелочная фосфатаза, пероксидаза хрена и пр.). Данные методы обладают недостаточно высокой чувствительностью и большими временными затратами. Системы, основанные на анализе продуктов ПЦР в реальном времени (Real-time PCR assay), достаточно дороги. Разработка чувствительных и недорогих отечественных экспрессных тест-систем является чрезвычайно актуальной задачей для обеспечения нужд медицинской диагностики.

Целью данной работы было исследование возможности применения в качестве репортера Ca^{2+} -активируемого фотопротеина обелина из гидроида *Obelia longissima* для выявления продуктов гибридиза-

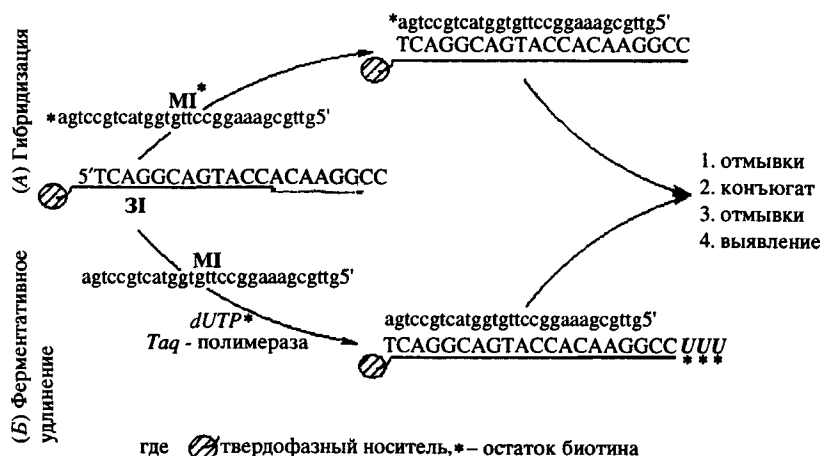
ции. Молекула обелина представляет собой устойчивый комплекс, состоящий из одноцепочечного полипептида (22.2 кДа) и окисленного производного субстрата – пероксицелентеразина [1]. Присоединение ионов кальция осуществляется за счет трех центров связывания в составе полипептида и вызывает конформационные перестройки белка и мгновенное декарбоксилирование субстрата с выделением кванта света в голубой области. Благодаря высокому квантовому выходу реакции и наличию чувствительных современных фотометров обелин определяют в аттомольных количествах.

Создание эффективной технологии получения рекомбинантного обелина [2] открыло возможность для развития методов его использования в качестве метки в аналитических системах *in vitro*. Было показано, что рекомбинантный белок стабилен при химических и генетических модификациях, а также при хранении в растворе и в лиофильно высушеннем виде [3–7]. Полученные производные обелина – конъюгаты с другими белками и гибридные с обелином рекомбинантные белки – были успешно использованы в иммуноанализе для определения гормонов щитовидной железы, онкомаркеров, инфекционных агентов.

Настоящая работа посвящена исследованиям по использованию конъюгата обелина с авидином или

Сокращения: BCIP – 5-бром-4-хлор-3-индолилфосфат; ВГС – вирус гепатита С; ДМЭГ – диметакриловый эфир этиленгликоля.

* Автор для связи (тел.: (3912) 49-44-30; факс: (3912) 43-34-00; эл. почта: lfrank@yandex.ru).



где **◎** – твердофазный носитель, * – остаток биотина

Рис. 1. Схема проведения гибридизационного анализа. (А) Выявление биотинилированной ДНК-матрицы **MI*** с иммобилизованным зондом **ZI**; (Б) выявление немеченой ДНК-матрицы **MI** путем ферментативного удлинения иммобилизованного зонда **ZI** в составе гибридизационного комплекса в присутствии биотинсодержащего нуклеотидтрифосфата **dUTP-Bio** и **Taq**-ДНК-полимеразы.

стрептавидином в качестве метки для твердофазного гибридизационного анализа в модельных системах и на примере ПЦР-фрагментов вируса гепатита С (ВГС). В качестве твердого носителя использовали мелкодисперсный полимер, а также микропланшеты разного производства. Результаты биолюминесцентного анализа сравнивали с результатами колориметрического анализа, полученными при использовании в качестве репортера щелочной фосфатазы с различными субстратами.

РЕЗУЛЬТАТЫ И ОБСУЖДЕНИЕ

Выявление ДНК-матрицы осуществляли методом молекулярной гибридизации с помощью 20-звенного олигонуклеотида в качестве зонда, иммобилизованного на твердом носителе **ZI** (рис. 1). В качестве ДНК-матрицы использовали 30-звенный олигонуклеотид **MI** или **MI***, несущий на 3'-конце остаток биотина (*), а также денатурированный двухцепочечный ПЦР-фрагмент, соответствующий участку 5'-нетранслируемой области вируса гепатита С. Последовательность всех ДНК-матриц содержала участок, полностью комплементарный зонду **ZI**. Введение биотина в состав правильного гибридизационного комплекса осуществляли либо в результате гибридизации (комплекс **ZI/MI***, рис. 1А), либо в результате ферментативного удлинения иммобилизованного зонда **ZI** в составе комплекса **ZI/MI** с помощью **Taq**-ДНК-полимеразы в присутствии биотинилированного дезоксиридинтрифосфата **dUTP*** (рис. 1Б). В последнем случае метка оказывается ковалентно связанный с носителем, что позволяет, без потери специфичного сигнала выявления, применять более жесткие процедуры отмычки для снижения фонового сигнала.

После отмылок иммобилизованный биотинилированный продукт инкубировали с коньюгатами

щелочная фосфатаза–стрептавидин или обелинавидин (или стрептавидин). В случае использования в качестве репортера щелочной фосфатазы выявление конечного комплекса производили колориметрически (в результате инкубирования носителя с соответствующими субстратами происходит образование окрашенного продукта). В случае обелинового репортера конечный комплекс выявляли по количеству света, которое выделялось при добавлении раствора CaCl_2 . Биолюминесцентный сигнал, генерируемый обелиновой меткой, имеет характер вспышки, длившейся 2–5 с, и его интенсивность при насыщающих концентрациях ионов кальция прямо пропорциональна содержанию обелина, поскольку он непосредственно участвует в реакции. Высокая чувствительность биолюминесцентного выявления возможна благодаря высокому квантовому выходу реакции обелина (около 40%).

Колориметрическое выявление предусматривает накопление окрашенного продукта во времени при инкубировании фермент–субстратной смеси. К сожалению, при продолжительном инкубировании накапливаются окрашенные продукты и в контрольной смеси (не содержащей мишени), очевидно за счет реакции самопроизвольного окисления субстрата, что уменьшает соотношение полезный сигнал/фон. Для сравнения этих способов выявления далее приведены значения оптической плотности в нескольких временных точках – в момент развития реакции, когда различия в окраске образцов с различными концентрациями матрицы максимальные, и в момент выхода количества окрашенного продукта реакции на плато.

В качестве твердофазного носителя были исследованы мелкодисперсный отечественный полимер на основе диметакрилового эфира этиленгликоля (ДМЭГ-7) и ряд коммерческих планшетов разных

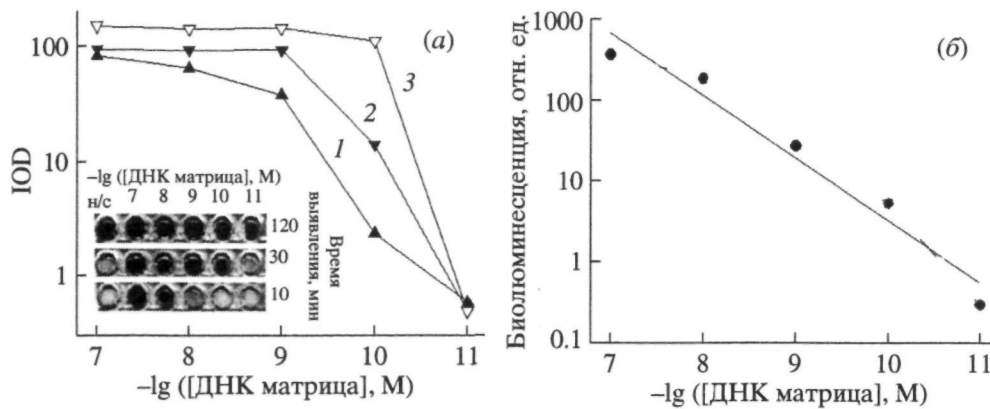


Рис. 2. Зависимость сигнала от концентрации выявляемой ДНК-матрицы при проведении анализа на поверхности полимерных частиц ДМЭГ. (а) Колориметрическое выявление: зависимость окраски полимера от концентрации ДНК-матрицы через 10 (1), 30 (2), 120 (3) мин после добавления BCIP + NBT (IOD – интенсивность оптической плотности в шкале серых тонов), на врезке – сканированное изображение частиц в лунках через те же промежутки времени, где н/с – неспецифический сигнал; (б) – биолюминесцентное выявление с использованием конъюгата обелин-авидин.

производителей с различными активированными поверхностями лунок.

На рис. 2 приведены результаты выявления ДНК-матрицы **МI** на поверхности ДМЭГ с иммобилизованным олигонуклеотидным зондом **ЗI**. Биотиновая метка была введена в последовательность зонда **ЗI** с помощью *Taq*-ДНК-полимеразы (рис. 1, вариант *B*) в течение 30 мин при 62°C [8]. Данная температура проведения реакции обеспечивает условия эффективного комплексообразования ($\alpha \geq 0.5$), поскольку температура плавления комплекса в условиях проведения реакций составляет 65.9°C [9] и близка к температурному оптимуму *Taq*-ДНК-полимеразы.

В случае колориметрического анализа после 10-минутного инкубирования с хромогенными субстратами для щелочной фосфатазы BCIP + NBT окрашивание полимера наблюдается только в случае концентрации анализируемой ДНК-матрицы **МI** 10^{-7} и 10^{-8} М. Через 2 ч достоверный сигнал регистрируется в лунке с концентрацией **МI** 10^{-10} М (рис. 2а). Окрашивание полимера в последней лунке (концентрация матрицы **МI** 10^{-11} М) практически совпадает с неспецифическим фоновым окрашиванием полимера (н/с), которое накапливается за это же время.

При использовании обелиновой метки (рис. 2б), зависимость биолюминесцентного сигнала от концентрации матрицы линейна ($R^2 = 0.91$) во всем исследуемом диапазоне концентраций. Сигнал развивается практически мгновенно при внесении насыщающей концентрации ионов кальция и длится 1–2 с. Поскольку сканирование каждой лунки производили в течение 5 с, временные затраты на проведение анализа минимальны. При этом биолюминесцентная метка позволяет достоверно определять наличие матрицы **МI** в концентрации 10^{-11} М. Полученную линейную зависимость сигнала от концентра-

ции **МI** можно использовать как калибровочную кривую для определения содержания данной ДНК-матрицы в исследуемом растворе.

Для проведения твердофазного анализа весьма удобным является микропланшетный формат. В наших экспериментах были использованы три вида планшетов, содержащих на поверхности лунок различные реакционноспособные группы. Во всех случаях иммобилизацию олигонуклеотидного зонда **ЗI** проводили ковалентной пришивкой в соответствии с протоколами фирм-производителей (см. “Эксперимент. часть”). На рис. 3 приведены результаты выявления матрицы гибридизацией на планшетах NucleoLink и CovaLink.

В целом результаты, полученные на планшетах и на полимерных частицах, коррелируют между собой. Для колориметрического анализа существенным фактором является время накопления окраски: его увеличение до 2–4 ч расширяет диапазон концентраций выявляемой матрицы как минимум на порядок. При одинаковой процедуре иммобилизации и анализа на планшетах NucleoLink не получилось четкой зависимости концентрация матрицы/сигнал, особенно при длительной (120 мин) инкубации. Для планшетов CovaLink такая зависимость близка к линейной, и если при 10-минутной инкубации она перекрывает 2 порядка, то при 120-минутной – уже почти 4 порядка.

Биолюминесцентный сигнал для этих типов планшетов равномерно уменьшается в диапазоне концентрации матрицы 10^{-8} – 10^{-12} М. Природа обелиновой метки позволяет получить ответ от каждой лунки за несколько секунд и на измерение 96-луночного планшета требуется всего 10–15 мин.

На рис. 4а приведены результаты четырех независимых измерений при биолюминесцентном методе обнаружения модельных матриц **МI*** и **МI** на поверхности планшета DNA-Bind. Видно, что сигналы

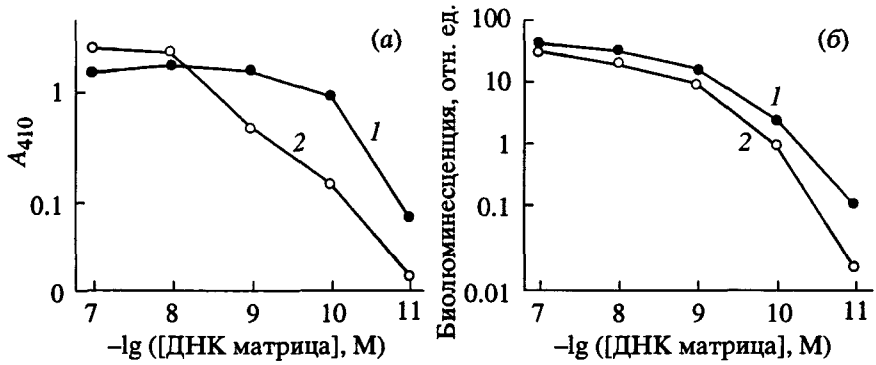


Рис. 3. Выявление матрицы гибридизацией на планшетах NucleoLink (1) и CovaLink (2) (а) колориметрическое (3-часовое инкубирование, субстрат NPP); (б) биолюминесцентное с использованием конъюгата обелин-авидин.

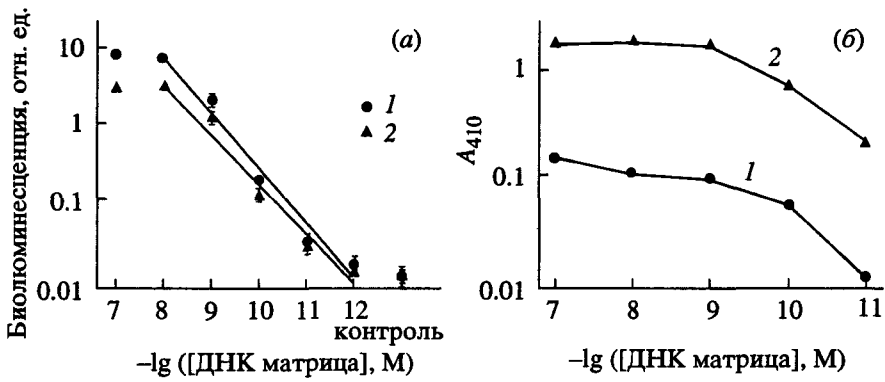


Рис. 4. Результаты выявления ДНК-матриц MI* (1) и MI (2) на планшетах DNA-Bind: (а) биолюминесцентное с использованием конъюгата обелин-стрептавидин, (б) колориметрическое (1 – через 15 мин, 2 – через 4 ч после внесения субстрата NPP).

имеют хорошую воспроизводимость (разброс в пределах 5–10%) и их величина линейно зависит от концентрации матрицы в диапазоне концентраций от 10^{-8} до 10^{-12} М ($R^2=0.97$). Предел обнаружения матрицы в обоих экспериментах соответствует 10^{-11} М. Этот предел мы определяли как концентрацию матрицы, при которой сигнал (0.03 и 0.026 для MI* и MI соответственно) достоверно отличается от контрольного, плюс удвоенное значение его дисперсии (в нашем случае это 0.016 и 0.014).

Полученные данные показывают, что обелиновая метка независимо от формата, в котором проводится анализ, позволяет достоверно определять 10^{-15} моль матрицы. Колориметрическое выявление в аналогичном варианте после 4-часового инкубирования достоверно обнаруживает в образце 10^{-10} моль соответствующей ДНК-матрицы.

Для всех исследованных нами видов планшетов, независимо от способов введения биотиновой метки и выявления сигнала, наблюдается слабая разница между сигналами в области высоких концентраций внесенной матрицы (10^{-6} – 10^{-8} М). Очевидно, это связано с насыщением поверхности лунок при данных концентрациях олигонуклеотидов в образцах.

По способу иммобилизации зонда на поверхность лунок наиболее удобными среди исследованных нами являются планшеты DNA-Bind, поскольку их поверхность активирована сукцинимидными группами, которые реагируют с 5'-аминосодержащим олигонуклеотидом при инкубировании раствора в течение 15–30 мин, тогда как процесс иммобилизации на поверхность планшет NucleoLink™ Strip и CovaLink™ NH гораздо более сложный и занимает более суток (см. "Эксперимент. часть").

Особый интерес для нас представляли эксперименты по выявлению ПЦР-продуктов ВГС, выделенных из разных клинических образцов. Двухцепочный ПЦР-фрагмент длиной 230 п. о. был предварительно денатурирован. Биотиновую метку в последовательность зонда ЗI вводили с помощью Taq-ДНК-полимеразы (рис. 1, вариант Б). На рис. 5 приведены результаты определения одного из фрагментов на поверхности планшет DNA-Bind. На приведенных рисунках видно, что, как и в модельных экспериментах, для колориметрического анализа существенным параметром является возможность накопления сигнала, и, если в первые 30–60 мин интенсивность окраски в пробах практически не отличается от контрольной, то через 4 ч,

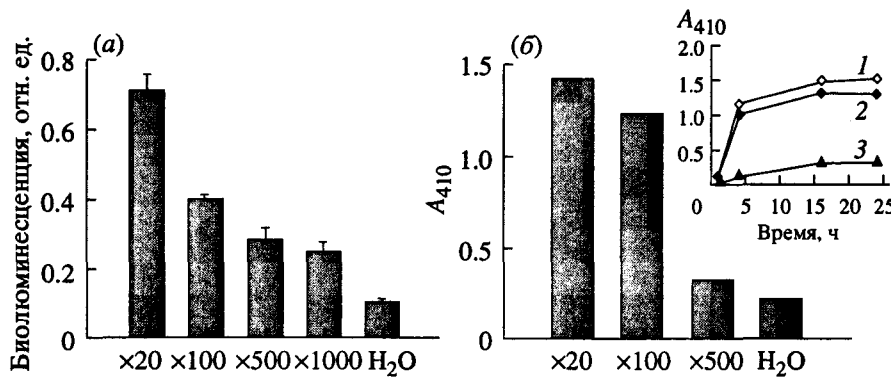


Рис. 5. Выявление ПЦР-фрагмента ВГС на планшетах DNA-Bind. По оси абсцисс указаны разбавления образца ПЦР-фрагмента, “ H_2O ” – контрольный образец (вода вместо ДНК). (а) биолюминесцентная метка (конъюгат обелин-стрептавидин; приведены средние значения и разбросы биолюминесцентных сигналов от трех независимых определений); (б) колориметрическая метка (приведены значения оптической плотности растворов через 4 ч после внесения субстрата NPP; на врезке – кинетика накопления колориметрического сигнала при внесении матрицы с разбавлением в 20 (1), 100 (2) и 500 (3) раз).

после выхода колориметрической реакции на плато, возможно выявить матрицу в образце с 500-кратным разбавлением. Для обелиновой метки ДНК-матрица выявляется непосредственно в момент внесения раствора $CaCl_2$ в лунки и, как показано на рис 5а, сигнал от образца с 1000-кратным разведением целевой ДНК достоверно (более чем в 2 раза) отличается от контрольной пробы.

Таким образом, в ходе проведенных экспериментов нами показано, что биолюминесцентная метка, представляющая собой химические конъюгаты Ca^{2+} -активируемого фотопротеина обелина с авидином (рис. 2б и 3б) или стрептавидином (рис. 4а и 5а), может успешно использоваться для выявления ДНК-фрагментов методом молекулярной гибридизации. При этом биолюминесцентная метка обладает рядом преимуществ по сравнению с колориметрической – это высокая (более чем на порядок) чувствительность, простота запуска реакции (только добавить раствор $CaCl_2$) и регистрации сигнала (современные высокочувствительные фотометры в состоянии регистрировать супернизкие световые потоки), возможность получения результата практически сразу после проведения анализа. Величина биолюминесцентного сигнала фотопротеина линейно зависит от его количества, что позволяет строить соответствующие калибровочные кривые и не только определять наличие целевой ДНК-последовательности, но и оценивать ее количество. Высокая чувствительность данного метода представляет возможность проведения ПЦР-анализа с меньшим количеством циклов, что, в свою очередь, позволяет повысить его специфичность.

Следует отметить, что перспективность применения Ca^{2+} -активируемого фотопротеина как метки в гибридизационном анализе была показана ранее на примере другого фотопротеина – акворина из медузы *Aequorea victoria* [см. обзор 10]. В нашей работе показано, что биолюминесцентные метки на

основе обелина также эффективны для такого рода анализа. Литературные данные и полученные нами результаты по применению акворина и обелина позволяют надеяться, что биолюминесцентный гибридизационный анализ с применением фотопротеиновых меток позволит обеспечить решение ряда задач высокочувствительной и экспрессной диагностики – от диагностики социально важных заболеваний до анализа генетически модифицированных продуктов и единичных нуклеотидных замен [11].

ЭКСПЕРИМЕНТАЛЬНАЯ ЧАСТЬ

В работе использовали высокоочищенный рекомбинантный обелин, полученный по методу, описанному в работе [2]. Конъюгаты обелина с авидином из белка куринных яиц (выделен нами по методу [12]) или с рекомбинантным стрептавидином (Sigma) получали по методу, разработанному нами для получения конъюгатов обелина с иммуноглобулинами [3]. Для введения SH-группы в молекулу обелина использовали 10-кратный молярный избыток 2-иминотиолана (Sigma), авидин или стрептавидин модифицировали 50-кратным молярным избыtkом сукциниimidного эфира 4-(*N*-малеидометил)циклогексановой кислоты – SMCC (Sigma), избытки реагентов отделяли гель-фильтрацией. Тионилированный обелин и SMCC-активированные авидин или стрептавидин смешивали в молярном соотношении 10 : 1 и инкубировали при 4°C в течение ночи. Полученные конъюгаты выделяли гель-фильтрацией на колонке Superose12 (хроматографическая система AKTA Purifier, GE Healthcare). Потери биолюминесцентной активности обелина после всех манипуляций не превышали 30%.

Taq-ДНК-полимераза, dNTP, 5-[*N*-(*N*-биотинил-*ε*-аминокапроил)-3-аминоаллил]-2'-дезоксиуридин-5'-трифосфат (Био-11-dUTP) получены от “Биосан”

(Новосибирск); конъюгат стрептавидин-щелочная фосфатаза – от “Sigma”; BCIP (5-бром-4-хлор-3-индолилфосфат) и NBT (нитротетразолиевый синий) – от Molecular Probes; *n*-нитрофенилфосфат (NPP) – от ISN.

В качестве твердофазных носителей использовали мелкодисперсный полимер на основе метакрилата этиленгликоля (ДМЭГ-7) (Институт особо чистых препаратов, Санкт-Петербург) и микропланшеты NucleoLinkTM Strip, CovaLinkTMNH (Nalge Nunc International, США) и DNA-BindTM (Costar, США).

Олигонуклеотиды ЗI, MII синтезировали фосфатамидным методом на ДНК-синтезаторе ASM-800 (Биоссет, Новосибирск), используя мономерные синтоны (Glen Research, США). Концентрацию олигонуклеотидов определяли спектрофотометрически на приборе Shimadzu UV-2100, используя суммарные величины молярных коэффициентов поглощения (ϵ 260) моно- и динуклеотидов при длине волны 260 нм.

Амплификацию фрагментов ДНК (230 п. о.) проводили, используя в качестве матрицы разбавленный в 500 раз препарат кДНК ВГС, любезно предоставленный Филиппенко М.Л. (ИХБФМ СО РАН), и праймеры CCATGGCGTTAGTATGAGT-GTCG и ACTCGCAAGCACCCCTATCAGG. ПЦР проводили в 10–30 мкл буфера, содержащего 67 мМ Трис-HCl (pH 8.8 при 25°C), 16 мМ $(\text{NH}_4)_2\text{SO}_4$, 1.5 мМ MgCl₂, 0.085 мг/мл BSA, 0.01% Твин-20, 5 мМ дитиотрейт, 2 ед. акт. Taq-ДНК-полимеразы, 10⁻⁶ М праймеры, 0.2 мМ каждый dNTP. Условия ПЦР: 95°C – 15 с, 60°C – 15 с, 70°C – 30 с, 25 циклов на амплификаторе Mastercycler 5330 plus (Eppendorf, Германия). Продукты амплификации длиной 230 п.о. разделяли с помощью электрофореза в 10% ПААГ и окрашивали красителем “Stains all” (Acros Organics, США). Нуклеотидную последовательность ПЦР-фрагментов определяли на автоматическом секвениаторе ABI PRISM 310 (Genetic Analyzer, США) в центре коллективного пользования ИХБФМ СО РАН и ИЦиГ СО РАН.

Иммобилизацию 5'-фосфатсодержащего олигонуклеотидного зонда на мелкодисперсном полимере ДМЭГ-7 проводили по методу, описанному в работе [13].

Иммобилизацию на поверхности планшет NucleoLinkTM Strip и CovaLinkTMNH проводили в соответствии с протоколом производителя: в лунки вносили по 100 мкл раствора 5'-фосфатсодержащего олигонуклеотида ЗI (10⁻⁷ М) в смеси 10 мМ *N*-метилимидазола и 10 мМ 1-этил-3-(3-диметиламино-пропил)карбодиимида. Реакционную смесь выдерживали 24 ч при 50°C, промывали последовательно: 10 мин (3 × 100 мкл) раствором 0.4 М NaOH, 0.25% Твин-20, 5 мин (3 × 200 мкл) H₂O (б/д). Блокирование сайтов неспецифического связывания на поверхности планшет проводили 1% BSA в 20 мМ Трис-HCl pH 7.5, 100 мМ NaCl, 2 мМ MgCl₂, 0.5% Твин-20, в течение 60 мин при 50°C.

Иммобилизацию на поверхности планшет DNA-BindTM проводили также по протоколу производителя: в лунки добавляли по 100 мкл раствора 5'-аминосодержащего олигонуклеотида ЗI (10⁻⁷ М) в 500 мМ Na₂HPO₄ (pH 8.5), 1 мМ EDTA, выдерживали 15 мин при комн. температуре, промывали TBS-буфером (10 мМ Трис-HCl pH 8.0, 150 мМ NaCl) (3 × 200 мкл). Блокирование сайтов неспецифического связывания на поверхности планшет проводили 1% BSA в TBS, содержащем 0.05% Твин-20, в течение 15–30 мин при комн. температуре.

Гибридизацию осуществляли в изотермическом режиме при 62°C в течение 30 мин. Биотиновую метку вводили двумя способами: гибридизацией с биотинилированной матрицей (30-звенный олигонуклеотид, 10⁻⁶–10⁻¹² М) и с помощью *Taq*-ДНК-полимеразы. В качестве твердого носителя выступали 0.5 мг полимера или планшеты с иммобилизованным на поверхности зондом. Гибридизацию проводили в 10 мкл (для полимера) или 100 мкл (для планшет) 5×SSC-буфера. Ферментативное введение биотинилированной метки в молекулу зонда проводили в 10 мкл (для полимера) или 100 мкл (для планшет) буфера, содержащего 10 мМ Трис-HCl (pH 8.8), 50 мМ KCl, 0.1% Твин-20, 1.8 мМ MgCl₂, 1.5 ед. акт. *Taq*-ДНК-полимеразы, 10⁻⁵ М dUTP-Bio, 5 × 10⁻⁵ М dATP. Матрицами служили 30-звенный олигонуклеотид (10⁻⁶–10⁻¹² М) или разбавленный в 20, 100, 500 и 1000 раз ПЦР-фрагмент. В контрольном эксперименте реакцию проводили в отсутствие НК-матрицы.

После реакции полимер последовательно отмывали (3 × 500 мкл) раствором А следующего состава: 20 мМ Трис-HCl (pH 7.5), 100 мМ NaCl, 2 мМ MgCl₂, 20% этанола, 0.5% Твин-20, затем 1 раз – 500 мкл раствора Б: 20 мМ Трис-HCl (pH 7.5), 100 мМ NaCl, 2 мМ MgCl₂, 1% BSA, 0.5% Твин-20, в течение 10 мин при комн. температуре. Планшеты промывали TBS-буфером, содержащим 0.1% Твин-20 (TTBS) (3 × 200 мкл), повторно обрабатывали 1% BSA в TBS, в течение 30 мин при комн. температуре и промывали.

При колориметрическом выявлении биотинсодержащего продукта к полимеру добавляли 20 мкл раствора, содержащего конъюгат щелочная фосфатаза–стрептавидин в концентрации 1 мкг/мл, выдерживали 30 мин при комн. температуре и отмывали (4 × 500 мкл) буферным раствором А и 1 раз (500 мкл) раствором Б без BSA. К полимеру добавляли раствор хромогенных субстратов (60 мкл), содержащий 20 мМ Трис-HCl (pH 9.5), 100 мМ NaCl, 2 мМ MgCl₂, 0.4 мг/мл BCIP, 0.3 мг/мл NBT, и выдерживали при комн. температуре, периодически регистрируя окраску полимерных частиц.

При работе на планшетах в лунки вносили по 100 мкл того же раствора конъюгата, выдерживали 30 мин при комн. температуре и промывали TTBS (3 × 100 мкл). Затем вносили по 100 мкл раствора, содержащего 10 мг/мл NPP в 10 М диэтанол-

амине, 1 мМ MgCl₂ и инкубировали при комнатной температуре, периодически регистрируя оптическую плотность растворов.

Окрашивание полимера регистрировали сканированием планшетов на приборе PowerLook 1000 (UMAX, Германия). Изображения анализировали с помощью программы Gel-Pro Analyzer 4.0 (Media Cybernetics, США), определяя интегральную оптическую плотность (IOD) в шкале серых тонов. Поглощение растворов NPP в лунках планшета измеряли при 410 нм с помощью планшетного фотометра ЭФОС-9305 (Сапфир, Москва).

При биолюминесцентном выявлении биотинсодержащего продукта использовали растворы конъюгатов обелин-авидин или обелин-стрептавидин (0.5–1 мкг/мл, 20 мМ Трис-HCl, pH 7.0, 5 мМ EDTA) так же, как это описано для конъюгата щелочная фосфатаза-стрептавидин. Для промывок использовали TTBS-буфер, содержащий 5 мМ EDTA.

Биолюминесцентный сигнал измеряли с помощью планшетного люминометра Luminoscan Ascent (ThermoElectron Co., Финляндия) сразу после внесения 100 мкл 100 мМ раствора CaCl₂ в 50 мМ Трис-HCl, pH 8.8. Время интегрирования сигнала от одной лунки 5 с, 1 отн. ед. соответствует 10⁷ квантам.

Результаты, приведенные на рисунках, представляют средние значения двух измерений, с учетом контрольной пробы, если не указано иначе.

БЛАГОДАРНОСТИ

Работа выполнена при финансовой поддержке программы “Молекулярная и клеточная биология” (проект 10.6), интеграционных грантов СО РАН (73 и 55), CRDF и РФФИ № 06-04-49263-а, РФФИ 06-04-08076-офи.

СПИСОК ЛИТЕРАТУРЫ

1. Liu Z.J., Vysotski E.S., Chen C.J., Rose J.P., Lee J., Wang B.C. // Protein Sci. 2000. V. 9. P. 2085–2090.
2. Illarionov B.A., Frank L.A., Illarionova V.A., Bondar V.S., Vysotski E.S., Blinks J.R. // Methods in Enzymology. 2000. V. 305. P. 223–249.
3. Frank L.A., Petunin A.I., Vysotski E.S. // Russ. J. Bioorgan. Chemistry. 2004. V. 30. P. 327–331 (Франк Л.А., Петунин А.И., Высоцкий Е.С. // Биоорган. химия. 2004. Т. 30. С. 364–368).
4. Frank L.A., Petunin A.I., Vysotski E.S. // Anal. Biochem. 2004. V. 325. P. 240–246.
5. Frank L.A., Illarionova V.A., Vysotski E.S. // Biochem. Biophys. Res. Commun. 1996. V. 219. P. 475–479.
6. Frank L.A., Vysotski E.S. // Bioluminescence and Chemiluminescence: Molecular Reporting with Photons/Eds J.W. Hastings, L.J. Kricka, P.E. Stanley. Chichester: John Wiley & Sons, 1997. P. 435–438.
7. Frank L., Markova S., Remmel N., Vysotski E., Gitelson I. // Luminescence. 2007. V. 22. P. 215–220.
8. Виноградова О.А., Пышная И.А., Зарытова В.Ф., Иванова Е.М., Пышный Д.В. // Молекуляр. биология. 2007. Т. 41. С. 163–172.
9. Lomzov A.A., Pyshnyi D.V. // J. B. S. D. 2007. V. 24. Issue Number 6. P. 679–680.
10. Высоцкий Е.С., Маркова С.В., Франк Л.А. // Молекуляр. биология. 2006. Т. 40. С. 410–417.
11. Zerefos P.G., Ioannou P.C., Traeger-Synodinos J., Dimissionas G., Kanavakis E., Christopoulos T.K. // Hum. Mutat. 2006. V. 27. P. 279–285.
12. Гололовов Г.В., Шустер А.М., Залите И.К., Габибов А.Г., Рабинков А.Г. // Биоорган. химия. 1991. Т. 17. С. 353–358.
13. Дегтярев С.Х., Белавин П.А., Шишкина И.Г., Зарытова В.Ф., Гаврюченкова Л.П., Морозов С.Н. // Биоорган. химия. 1989. Т. 15. С. 358–362.

A Highly Sensitive and Rapid Method for the Detection of DNA Fragments Using the Photoprotein Obelin as a Reporter

V. V. Borisova^a, I. A. Pyshnaya^b, D. V. Pyshnyi^b, and L. A. Frank^{a,*}

* Phone: (3912) 49-44-30; fax: (3912) 43-34-00; e-mail: lfrank@yandex.ru

^a Institute of Biophysics, Siberian Branch, Russian Academy of Sciences, str. 50, Akademgorodok, Krasnoyarsk, 660036 Russia

^b Institute of Chemical Biology and Experimental Medicine, Siberian Branch, Russian Academy of Sciences, Novosibirsk, 630090 Russia

The recombinant Ca²⁺-activated photoprotein obelin was used as a reporter protein in a solid-phase bioluminescent hybridization DNA assay. Oligonucleotide probes were immobilized on the surface of a fine-grained polymer or microbiological plates of different types. A 30-mer oligonucleotide or its derivative with a biotin residue on the 3'-terminus, as well as a denatured double-stranded PCR fragment of the hepatitis C virus with the sequence of the 30-mer oligonucleotide, was used as a DNA template. The probe in the hybridization complex was labeled by elongation of the chain using Taq DNA polymerase in the presence of biotinylated deoxyuridine triphosphate. The results of the bioluminescent assay were compared with the results of colorimetric analysis obtained with alkaline phosphatase as a reporter protein. It was shown that the use of the bioluminescent obelin label substantially accelerates the DNA detection procedure, ensures a high sensitivity of the assay (no less than 10⁻¹⁵ mol of DNA template), and enables quantitative determination of the amount of DNA template in the tested sample.

Key words: obelin, bioluminescent hybridization assay, PCR